

فریدون ایرانی - عضو هیات علمی دانشکده مهندسی

(تاریخ ارائه مهرماه ۱۳۶۹)

چکیده مقاله

این مقاله به کمک مجموع تئوری تیرها و صفحات به تحلیل تاوه‌های با تقویت طولی می‌پردازد.

در روش مقاله ابتدا به کمک خطوط برش مناسب طولی تاوه را به مقاطع تیر و تاوه (ی مستطیلی) تجزیه کرده و عکس‌العمل‌های هر یک از مقاطع تجزیه شده را بر روی مقطع مجاور خود اعمال می‌کنیم. سپس با استفاده از تئوری مناسب مقادیر تغییر مکانهای لبه‌های خارجی قطعات را در طول برشهای اعمال شده محاسبه کرده و سازگاری این تغییر مکانها را در قطعات مجاور یکدیگر تأمین می‌کنیم.

معادلات مربوط به سازگاری تغییر مکانها، مقادیر نیروهای اعمال شده بر لبه‌های برش خورده، مقاطع را معین می‌کند. با استفاده از این مقادیر به دست آمده، تحلیل تنش و تغییر مکان سازه ممکن خواهد بود.

خطوط برش طولی باید در مقاطعی اعمال شود که تحلیل تقویت طولی تاوه به کمک تئوری تیرها ممکن گردد.

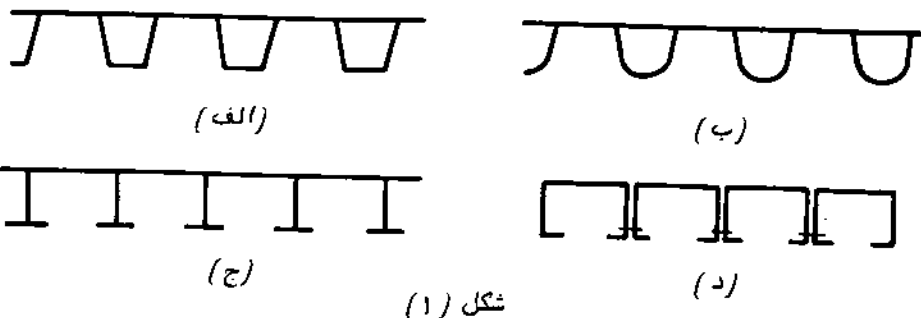
۱ - مقدمه

در پلسازی برای پوشش کف اتومبیل روی پل‌های فولادی از تاوه‌های با تقویت طولی به فراوانی استفاده می‌شود. تقویت‌های طولی که خود از ورق‌های فولادی تهیه می‌شوند به تناسب مشخصات و ابعاد پل‌ها شکلهای گوناگونی دارند. مقطع عرضی برخی از این نوع کفها در شکل (۱) نشان داده شده است. در این مقاله برای تحلیل دقیق تنش در این گونه تاوه‌ها از روش مقاطع استفاده شده است. در این روش تقویت‌های طولی کف را مانند تیر یعنی نیم‌رخ بدون تغییر مقطع عرضی و عناصر تخت کف که بین تقویت‌ها

ضمیمه (۲) تعاریف علائم به کاررفته در مقاله

- v : ضریب پواسن
- b : عرض صفحه در امتداد محور y
- b : عرض صفحه در امتداد محور y
- $D = \frac{E\delta^3}{12(1-\nu^2)}$: سختی خمشی صفحه
- δ : ضخامت صفحه
- $E \cdot \bar{E}$: مفادیر ثابت تابع تغییر مکان در امتداد محور z
- $F \cdot \bar{F}$: مفادیر ثابت تابع تغییر مکان در امتداد محور z
- $f_m(y)$: بخشی از تابع ایری که تابع تغییرات y است
- G_R : ضریب سری فوریه مربوط به تابع بار قائم موثر بر لبه راست صفحه
- G_L : ضریب سری فوریه مربوط به تابع بار قائم موثر بر لبه چپ صفحه
- l : طول صفحه در امتداد محور x
- m_R : ضریب سری فوریه مربوط به تابع لنگر خمشی موثر بر لبه راست صفحه
- m_L : ضریب سری فوریه مربوط به تابع لنگر خمشی موثر بر لبه چپ صفحه
- M_R : لنگر خمشی موثر بر لبه راست صفحه
- M_L : لنگر خمشی موثر بر لبه چپ صفحه
- N_R : بار عرضی موثر بر لبه راست صفحه
- N_L : بار عرضی موثر بر لبه چپ صفحه
- Q_R : بار قائم موثر بر لبه راست صفحه
- Q_L : بار قائم موثر بر لبه چپ صفحه
- S_R : ضریب سری فوریه مربوط به تابع بار عرضی موثر بر لبه راست صفحه
- S_L : ضریب سری فوریه مربوط به تابع بار عرضی موثر بر لبه چپ صفحه
- t_R : ضریب سری فوریه مربوط به تابع بار برشی موثر بر لبه راست صفحه
- t_L : ضریب سری فوریه مربوط به تابع بار برشی موثر بر لبه چپ صفحه
- T_R : بار برشی موثر بر لبه راست صفحه
- T_L : بار برشی موثر بر لبه چپ صفحه
- U_R : تغییر مکان در امتداد محور x لبه راست صفحه
- U_L : تغییر مکان در امتداد محور x لبه چپ صفحه
- V_R : تغییر مکان در امتداد محور y لبه راست صفحه

قرار دارند مانند تاوهی مستطیلی در نظر خواهیم گرفت و با اعمال روابط سازگاری تغییر مکانها بین این دو نوع قطعات یکپارچگی قطعه تامین خواهد شد.

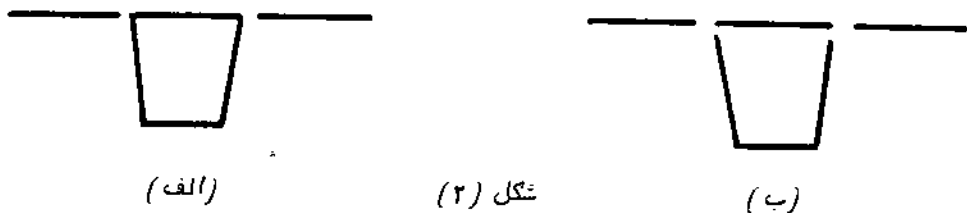


شکل (۱)

فرضیات حاکم بر این روش همان فرضیات حاکم بر تئوری صفحات نازک ارتجاعی، همگن و ایزوتروپ و همچنین فرضیات حاکم بر تئوری تیرهای با مقطع جدار نازک است. این روش زمانی قابل استفاده است که بتوان تکیه‌گاههای دوسر کف را ساده فرض کرد. البته در مورد کفهای یکسره که روی تکیه‌گاههای ساده میانی قرار دارند نیز این روش کاملاً قابل استفاده است.

۲- طریقه اعمال روش مقاله

فرض می‌شود که اعمال روش مقاله برکف نشان داده شده در شکل (۱- الف) مورد نظر باشد. در این صورت می‌توان این کف را به دو صورت نشان داده شده در شکل (۲) تجزیه کرد. در حالت شکل (۲- الف) کف مورد نظر را به دو تاوه و یک تیر تبدیل کرده‌ایم و در حالت شکل (۲- ب) همین کف به سه تاوه مستطیلی و یک تیر U شکل، تبدیل شده است. بدیهی است که اگر از روش تجزیه به صورت شکل (۲- ب) استفاده کنیم نتایج به دست آمده برای نشهای کف دقیقتر از روش تجزیه به صورت شکل (۲- الف) خواهد بود ولی استفاده از این چنین روشی مستلزم صرف وقت بیشتری نیز می‌باشد.

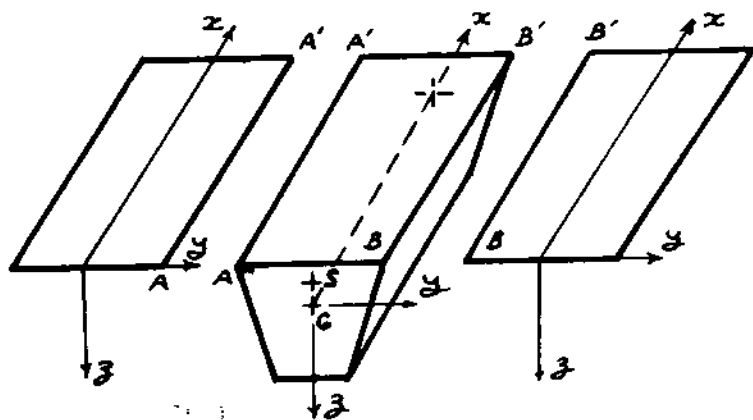


شکل (۲)

از تجزیه هر یک از کفهای فوق عناصری به دست می‌آید که تحت تاثیر نیرو ولنگر در طول دو برش طولی دوطرف خود می‌باشد. تغییر مکان هریک از نقاط مقطع قطعه تابع نیروها ولنگر موثر بر قطعه است، یکپارچگی کف زمانی تامین خواهد شد که سازگاری تغییر مکانها بین دو قطعه واقع در طرفین یک خط برش تامین شده باشد. تغییر مکانهای قطعات که در طول برشها (ی) AA' و BB' در شکل (۳) بوجود می‌آید به صورت زیر است.

۱- تغییر مکان طولی لبه^۴ برش خورده در امتداد محور X

۲- تغییر مکان عرضی لبه^۴ برش خورده در امتداد محور Y



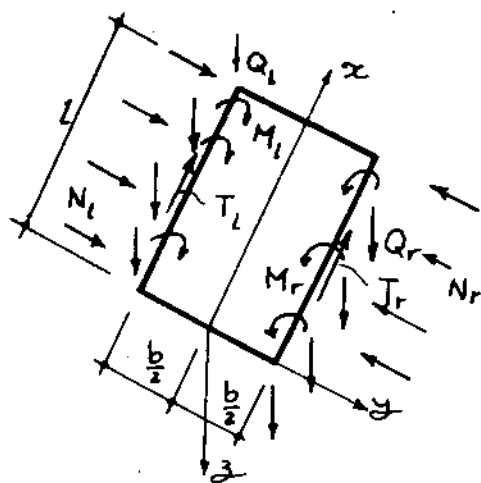
شکل (۳)

۳- تغییر مکان قائم لبه^۴ برش خورده در امتداد محور Z

۴- دوران لبه^۴ برش خورده در جهت ساعتگرد حول محور X

۳- روابط مربوط به تغییر مکانهای صفحه

روابط مربوط به تغییر مکانهای صفحه در طول هر یک از دو لبه^۴ خود در مرجع (۵) آورده شده است که در این قسمت نیز به صورت خلاصه برای صفحه نشان داده شده در شکل (۴) ذکر می‌شود.



شکل (۴)

$$T_r = \sum_{m=1}^{\infty} t_r \cos \frac{m\pi x}{l}$$

$$T_l = \sum_{m=1}^{\infty} t_l \cos \frac{m\pi x}{l}$$

$$N_r = \sum_{m=1}^{\infty} s_r \sin \frac{m\pi x}{l}$$

$$N_l = \sum_{m=1}^{\infty} s_l \sin \frac{m\pi x}{l}$$

$$Q_r = \sum_{m=1}^{\infty} g_r \sin \frac{m\pi x}{l}$$

$$Q_l = \sum_{m=1}^{\infty} g_l \sin \frac{m\pi x}{l}$$

$$M_r = \sum_{m=1}^{\infty} m_r \sin \frac{m\pi x}{l}$$

$$M_l = \sum_{m=1}^{\infty} m_l \sin \frac{m\pi x}{l}$$

$$u_{y=\pm b/2} = \frac{1}{2tE} \sum_{m=1}^{\infty} \left(\frac{l}{m\pi}\right) \left[t_r (\theta \pm \bar{\theta}) + t_l (\theta \pm \bar{\theta}) + s_r (\eta + \bar{\eta} - 2\nu) + s_l (\eta - \bar{\eta}) \right] \cos \frac{m\pi x}{l}$$

$$v_{y=\pm b/2} = \frac{\pm 1}{2tE} \sum_{m=1}^{\infty} \left(\frac{l}{m\pi}\right) \left[\frac{l}{l} (\eta + \bar{\eta} - 2\nu) + \frac{l}{l} (\eta - \bar{\eta}) + s_r \left(\frac{\partial \eta}{\partial y} + \frac{\partial \bar{\eta}}{\partial y}\right) + s_l \left(\frac{\partial \eta}{\partial y} - \frac{\partial \bar{\eta}}{\partial y}\right) \right] \sin \frac{m\pi x}{l} \quad (2)$$

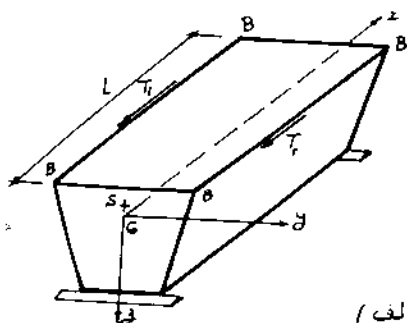
$$w_{y=\pm b/2} = \frac{1}{2D} \sum_{m=1}^{\infty} \left(\frac{l}{m\pi}\right)^2 \left\{ 2\Delta_3 K \left(\frac{l}{m\pi}\right)^2 - (\Delta_1 \pm \bar{\Delta}_1)_{m_r} - (\Delta_1 \pm \bar{\Delta}_1)_{m_l} + 2\left(\frac{l}{m\pi}\right) [(\Delta_2 \pm \bar{\Delta}_2)_{g_r} + (\Delta_2 \pm \bar{\Delta}_2)_{g_l}] \right\} \sin \frac{m\pi x}{l}$$

$$\phi_{y=\pm b/2} = \frac{\pm 1}{2D} \sum_{m=1}^{\infty} \left(\frac{l}{m\pi}\right) \left\{ 4\nu \Delta_6 K \left(\frac{l}{m\pi}\right)^2 - 2[(\Delta_4 \pm \bar{\Delta}_4)_{m_r} + (\Delta_4 \pm \bar{\Delta}_4)_{m_l}] + \left(\frac{l}{m\pi}\right) [(\Delta_5 \pm \bar{\Delta}_5)_{g_r} + (\Delta_5 \pm \bar{\Delta}_5)_{g_l}] \right\} \sin \frac{m\pi x}{l}$$

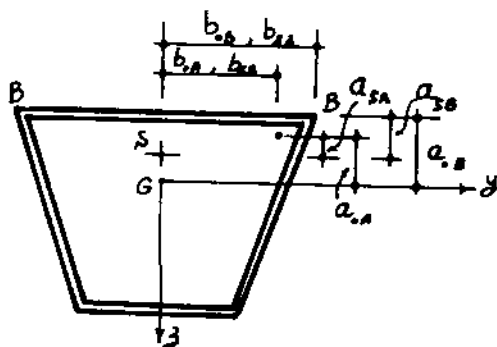
برای دستیابی به تعاریف علائم به کار رفته و مشخصات کما و بواج که در متن مقاله معین شده است به صفات (۱) و (۲) مراجعه شود.

۴- روابط مربوط به تغییر مکانهای تیر

الف- روابط مربوط به تاثیر نیروی برشی موثر در طول خطوط برش



شکل (۵) - (الف)



(ب)

AA : امتدادی که در آن امتداد تغییر مکان حاصل از نیرو محاسبه می شود .

BB : امتدادی که در آن امتداد نیروی وارده اثر می کند .

شکل (۵)

با توجه به شکل (۵-الف) فرض می شود که دو نیروی برشی

$$T_r = \sum_{m=1}^{\infty} t_r \cos \frac{m\pi x}{l}$$

$$T_l = \sum_{m=1}^{\infty} t_l \cos \frac{m\pi x}{l}$$

به ترتیب در طول دو لبه سمت راست و سمت چپ تیر اثر کند . در شکل (۵) نقطه S مرکز برش و نقطه G مرکز ثقل مقطع تیر است .

الف - ۱ - تغییر مکانهای حاصل از تاثیر نیروی T_r

۱ - تغییر مکان طولی در امتداد محور x یعنی U_x

گرانشی که از اثر نیروی T_r در امتداد AA بوجود می آید به صورت زیر محاسبه خواهد شد :

$$\epsilon_x = \int_0^x \frac{T_r^b \frac{b_{SB} b_{OA}}{EI_z}}{EI_z} dx + \int_0^x \frac{T_r^a \frac{a_{SB} a_{OA}}{EI_y}}{EI_y} dx +$$

$$\int_0^x \frac{T_r}{EA} dx$$

یک چنین کرنشی سبب تغییر مکانی بر طبق رابطه (۴) می‌شود.

$$U(x) = \int_0^x \varepsilon \, dx = \left(\frac{b}{EI_z} \frac{SB^b OA}{z} + \frac{a}{EI_y} \frac{SB^a OA}{y} + \frac{1}{EA} \right) \int_0^x \int_0^x T_r \, dx^2$$

$$= -\frac{1}{E} \sum_{m=1}^{\infty} \left(\frac{l}{m\pi} \right)^2 \left[\frac{1}{A} + \frac{a}{EI_y} \frac{SB^a OA}{y} + \frac{b}{EI_z} \frac{SB^b OA}{z} \right] t_r \cos \frac{m\pi x}{l} \quad (4)$$

۲- تغییر مکان عرضی در امتداد محور Y یعنی V_T
در این حالت داریم:

$$\frac{d^2 V}{dx^2} = \frac{M_z}{EI_z} = \frac{b}{EI_z} \int_0^x T_r \, dx \quad (5)$$

$$V(x) = \frac{b}{EI_z} \int_0^x \int_0^x \int_0^x T_r \, dx = \frac{b}{EI_z} \sum_{m=1}^{\infty} \left(\frac{l}{m\pi} \right)^3 t_r \sin \frac{m\pi x}{l} \quad (6)$$

۳- تغییر مکان قائم در امتداد محور Z یعنی W_T
در این حالت نیز مشابه حالت قبل خواهیم داشت:

$$\frac{d^2 W}{dx^2} = \frac{M_y}{EI_y} = -\frac{a}{EI_y} \int_0^x T_r \, dx \quad (7)$$

$$W(x) = -\frac{a}{EI_y} \int_0^x \int_0^x \int_0^x T_r \, dx = -\frac{a}{EI_y} \sum_{m=1}^{\infty} \left(\frac{l}{m\pi} \right)^3 t_r \sin \frac{m\pi x}{l} \quad (8)$$

۴- دوران حول محور X در جهت ساعتگرد یعنی ϕ_T
با استفاده از تئوری پیچش جدار نازکها خواهیم داشت:

$$EC_v \frac{d^4 \phi}{dx^4} - GI_t \frac{d^2 \phi}{dx^2} = \frac{dT}{dx} \omega = -\omega \sum_{m=1}^{\infty} \left(\frac{m\pi}{l} \right) t_r \sin \frac{m\pi x}{l} \quad (9)$$

$$\phi(x) = C_1 + C_2 e^{\beta x} + C_3 e^{-\beta x} + \sum_{m=1}^{\infty} \left(\frac{l}{m\pi} \right) \frac{\omega t_r}{EC_v \left[\left(\frac{m\pi}{l} \right)^2 + \frac{GI_t}{EC_v} \right]} \sin \frac{m\pi x}{l} \quad (10)$$

چون درحالی که برش وجود ندارد مقدار فوق باید صفر شود لذا $C_1 = C_2 = C_3 = 0$ خواهد شد و خواهیم داشت .

$$\phi(x) = \sum_{m=1}^{\infty} \left\langle \frac{l}{m\pi} \right\rangle \frac{W t_r}{EC_v \left[\left(\frac{m\pi}{l} \right)^2 + \frac{GI_t}{EC_v} \right]} \sin \frac{m\pi x}{l} \quad (11)$$

الف - ۲ - تغییر مکانهای حاصل از تاثیر T_1 و T_2 در امتداد خطوط برش

با استفاده از روابط (۴) ، (۶) ، (۸) و (۱۱) می توان روابط مربوط به تغییر مکانهای

حاصل از تاثیر T_1 و T_2 را در طول دو خط برش سمت راست و سمت چپ سیر به صورت زیر بدست آورد .

$$\langle U_{T_r} \rangle = - \frac{1}{E} \sum_{m=1}^{\infty} \left\langle \frac{l}{m\pi} \right\rangle^2 \left[\left(\frac{1}{A} + \frac{S B^a O B}{I_y} - \frac{S B^b O B}{I_z} \right) t_l + \left(\frac{1}{A} + \frac{S B^a O B}{I_y} + \frac{S B^b O B}{I_z} \right) t_r \right] \cos \frac{m\pi x}{l}$$

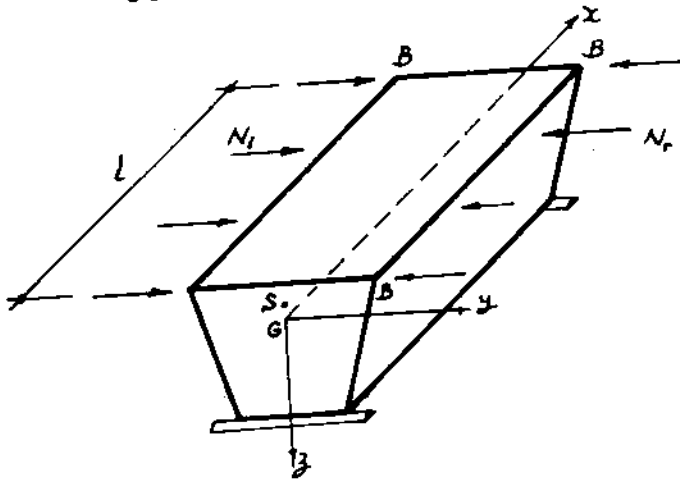
$$\langle U_{T_l} \rangle = - \frac{1}{E} \sum_{m=1}^{\infty} \left\langle \frac{l}{m\pi} \right\rangle^2 \left[\left(\frac{1}{A} + \frac{S B^a O B}{I_y} + \frac{S B^b O B}{I_z} \right) t_l + \left(\frac{1}{A} + \frac{S B^a O B}{I_y} - \frac{S B^b O B}{I_z} \right) t_r \right] \cos \frac{m\pi x}{l}$$

$$\langle V_{T_r} \rangle = \langle V_{T_l} \rangle = - \frac{S B}{E I_z} \sum_{m=1}^{\infty} \left\langle \frac{l}{m\pi} \right\rangle^3 (t_l - t_r) \sin \frac{m\pi x}{l}$$

$$\langle W_{T_r} \rangle = \langle W_{T_l} \rangle = - \frac{S B}{E I_y} \sum_{m=1}^{\infty} \left\langle \frac{l}{m\pi} \right\rangle^3 (t_l + t_r) \sin \frac{m\pi x}{l}$$

$$\langle \phi_{T_r} \rangle = \langle \phi_{T_l} \rangle = - \sum_{m=1}^{\infty} \left\langle \frac{l}{m\pi} \right\rangle \frac{W (t_l - t_r)}{EC_v \left[\left(\frac{m\pi}{l} \right)^2 + \frac{GI_t}{EC_v} \right]} \sin \frac{m\pi x}{l} \quad (12)$$

ب - روابط مربوط به تاثیر نیروی عرضی موثر در طول خطوط برش



شکل (۶)

با توجه به شکل (۶) فرض می شود که دو نیروی عرضی

$$N_r = \sum_{m=1}^{\infty} s_r \sin \frac{m\pi x}{l}$$

$$N_l = \sum_{m=1}^{\infty} s_l \sin \frac{m\pi x}{l}$$

به ترتیب در طول دو لبه، سمت راست و سمت چپ تیر اثر کند. در اینجا نیز با توجه به مشخصات مقطع که در شکل (۵ - ب) نشان داده شده است به استخراج روابط لازم می پردازیم.

ب - ۱ - تعبیر مکانهای حاصل از تاثیر نیروی N_r

۱ - تعبیر مکان طولی در امتداد محور x یعنی U_n

گرنسی که از اثر خمشی نیروی N_r در امتداد AA بوجود می آید به صورت زیر خواهد بود

$$\epsilon_x = \frac{M_z b}{EI_z} = - \frac{b}{EI_z} \int_0^x \int_0^x N_r dx^2 \quad (13)$$

اگر اثر بیخشی نیروی N_r را در نظر بگیریم، لنگر بیخشی بوجود آمده خواهد شد.

$$\alpha_{SB} N_r = m_t = \alpha_{SB} \sum_{m=1}^{\infty} S_r \sin \frac{m\pi x}{l} \quad (14)$$

و چون با توجه به تئوری پیچش جدار نازکها داریم،

$$U(x) = \frac{d\phi}{dx} W$$

$$EC_v \frac{d^3}{dx^3} \left(\frac{d\phi}{dx} \right) - GI_t \frac{d}{dx} \left(\frac{d\phi}{dx} \right) = m_t$$

$$EC_v \frac{d^3 U}{dx^3} - GI_t \frac{dU}{dx} = m_t = \alpha_{SB} \sum_{m=1}^{\infty} S_r \sin \frac{m\pi x}{l} \quad (15)$$

با حل رابطه (۱۵) خواهیم داشت.

$$U_1(x) = C_1 e^{\beta x} + C_2 e^{-\beta x} + C_3 +$$

$$\sum_{m=1}^{\infty} \frac{W \alpha_{SB} S_r}{\left(\frac{m\pi}{l} \right) [GI_t + \left(\frac{m\pi}{l} \right) EC_v]} \cos \frac{m\pi x}{l} \quad (16)$$

این رابطه باید بازا، $N_r = 0$ برابر با صفر شود لذا $C_1 = C_2 = C_3 = 0$ خواهد بود و نهایتاً داریم،

$$\text{اکل: } U(x) = \int_0^x \varepsilon_x dx + U_1(x) =$$

$$\frac{1}{E} \sum_{m=1}^{\infty} \left\{ \frac{\frac{b}{I_z} \left(\frac{l}{m\pi} \right) + \frac{l}{m\pi}}{C_v \left[\left(\frac{m\pi}{l} \right)^2 + \frac{GI_t}{EC_v} \right]} \right\} S_r \cos \frac{m\pi x}{l} \quad (17)$$

۲ - تغییر مکان عرضی در امتداد محور Y یعنی V_{π} با توجه به شکل (۶) لنگر خمشی حول محور Z خواهد شد.

$$M_z = - \int_0^x \int_0^x N_r dx^2 \quad (18)$$

$$\frac{d^2 V}{dx^2} = - \frac{M_z}{EI_z} = - \frac{1}{EI_z} \int_0^x \int_0^x N_r dx^2$$

$$V_1(x) = -\frac{1}{EI_z} \int_0^x \int_0^x \int_0^x \int_0^x N_r dx^4 = -\frac{1}{EI_z} \sum_{m=1}^{\infty} \left(\frac{l}{m\pi}\right)^4 S_r \sin \frac{m\pi x}{l} \quad (19)$$

اثر پیچشی نیروی N_r به صورت زیر عمل خواهد کرد.

$$m_t = -GI_t \frac{d^2 \phi}{dx^2} = \sum_{m=1}^{\infty} a_{SB} S_r \sin \frac{m\pi x}{l}$$

$$\phi(x) = -\frac{a_{SB}}{GI_t} \sum_{m=1}^{\infty} \left(\frac{l}{m\pi}\right)^2 S_r \sin \frac{m\pi x}{l} \quad (20)$$

تغییرمکان عرضی حاصل از پیچش مقطع خواهد شد.

$$V_2(x) = a_{SA} \phi(x) = -\frac{a_{SA} a_{SB}}{GI_t} \sum_{m=1}^{\infty} \left(\frac{l}{m\pi}\right)^2 S_r \sin \frac{m\pi x}{l} \quad (21)$$

و به این ترتیب تغییرمکان عرضی کل می شود

(22)

$$V(x) = V_1 + V_2 = -\sum_{m=1}^{\infty} \left(\frac{l}{m\pi}\right)^2 \left[\frac{1}{EI_z} \left(\frac{l}{m\pi}\right)^2 + \frac{a_{SA} a_{SB}}{GI_t} \right] S_r \sin \frac{m\pi x}{l}$$

۳- تغییر مکان قائم در امتداد محور Z یعنی W_N

دیدیم که زاویه پیچش حاصل از تاثیر نیروی N_r به صورت زیر است (رابطه ۲۰)

$$\phi(x) = -\frac{a_{SB}}{GI_t} \sum_{m=1}^{\infty} \left(\frac{l}{m\pi}\right)^2 S_r \sin \frac{m\pi x}{l} \quad (20)$$

از این طریق تغییرمکان قائم خواهد شد.

$$W_N(x) = -\frac{a_{SB}^b a_{SA}}{GI_t} \sum_{m=1}^{\infty} \left(\frac{l}{m\pi}\right)^2 S_r \sin \frac{m\pi x}{l} \quad (23)$$

۴- دوران حول محور X در جهت ساعتگرد یعنی ϕ_N

زاویه پیچش حاصل از تاثیر نیروی N_r با رابطه (۲۰) معین شد.

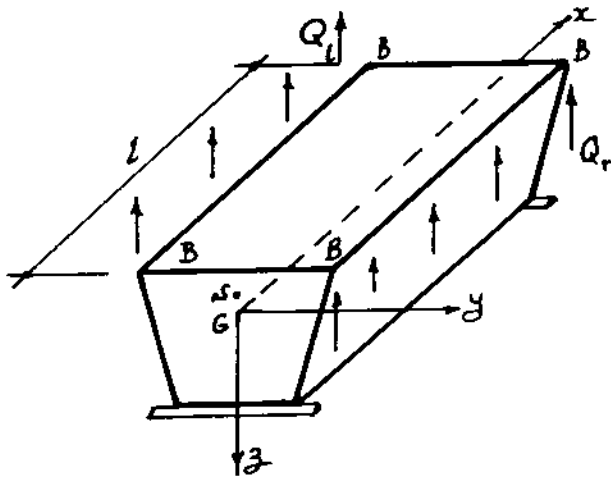
$$\phi(x) = - \frac{a_{SB}}{GI_t} \sum_{m=1}^{\infty} \left(\frac{l}{m\pi} \right)^2 s_r \sin \frac{m\pi x}{l} \quad (20)$$

ب - ۲ - تغییر مکانهای حاصل از تاثیر N_r و N_l در امتداد خطوط برش با استفاده از روابط (۱۷)، (۲۲)، (۲۳) و (۲۰) می توان روابط مربوط به تغییر مکانهای حاصل از تاثیر N_r و N_l را در طول دو خط برش سمت راست و سمت چپ تیر به صورت زیر به دست آورد.

$$\begin{aligned} \langle U_{Nl} \rangle_r &= \pm \frac{1}{E} \sum_{m=1}^{\infty} \left\{ \frac{b_{OB} \langle \frac{l}{m\pi} \rangle^3 + \langle \frac{l}{m\pi} \rangle}{I_z} \frac{W_{aSB}}{C_v \left[\left(\frac{m\pi}{l} \right)^2 + \frac{GI_t}{EC_v} \right]} \right\} \\ &\quad \langle s_l - s_r \rangle \cos \frac{m\pi x}{l} \\ \langle V_{Nr} \rangle &= \langle V_{Nl} \rangle = \sum_{m=1}^{\infty} \left(\frac{l}{m\pi} \right)^2 \left[\frac{1}{EI_z} \left(\frac{l}{m\pi} \right)^2 + \frac{a_{SB}}{GI_t} \right] \langle s_l - s_r \rangle \sin \frac{m\pi x}{l} \\ \langle W_{Nl} \rangle &= \pm \frac{a_{SB} b_{SB}}{GI_t} \sum_{m=1}^{\infty} \left(\frac{l}{m\pi} \right)^2 \langle s_l - s_r \rangle \sin \frac{m\pi x}{l} \\ \langle \phi_{Nr} \rangle &= \langle \phi_{Nl} \rangle = \frac{a_{SB}}{GI_t} \sum_{m=1}^{\infty} \left(\frac{l}{m\pi} \right)^2 \langle s_l - s_r \rangle \sin \frac{m\pi x}{l} \quad (24) \end{aligned}$$

ج - روابط مربوط به تاثیر نیروی قائم موثر در طول خطوط برش

$$\begin{aligned} Q_r &= \sum_{m=1}^{\infty} g_r \sin \frac{m\pi x}{l} \\ Q_l &= \sum_{m=1}^{\infty} g_l \sin \frac{m\pi x}{l} \end{aligned}$$



شکل (۷)

چون این حالت بنحوی مشابه با تاثیر نیروی عرضی است لذا از محاسبه مجدد مقادیر تغییر مکانها صرفنظر شده و روابط نهایی را ارائه می‌دهیم.

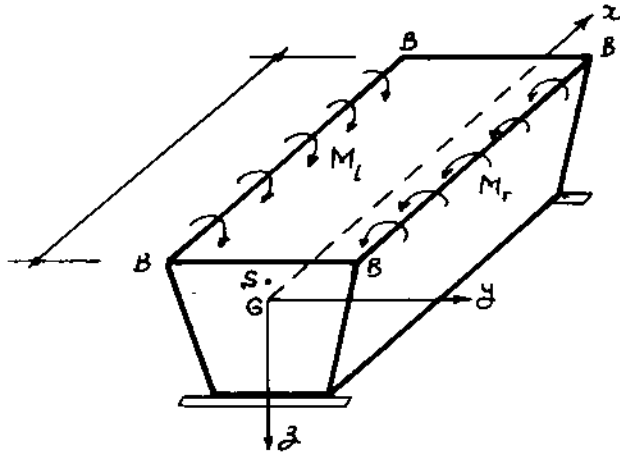
$$(U_{Q_r}) = (U_{Q_l}) = -\frac{1}{E} \sum_{m=1}^{\infty} \left\{ \frac{a_{OB}}{I_y} \left(\frac{l}{m\pi}\right)^3 (g_l + g_r) + \left(\frac{l}{m\pi}\right) \frac{w_{SB} b (g_l - g_r)}{C_v \left[\left(\frac{m\pi}{l}\right)^2 + \frac{GI_t}{EC_v} \right]} \right\} \cos \frac{m\pi x}{l}$$

$$(V_{Q_r}) = (V_{Q_l}) = \frac{b_{SB} a_{SB}}{GI_t} \sum_{m=1}^{\infty} \left(\frac{l}{m\pi}\right)^2 (g_l + g_r) \sin \frac{m\pi x}{l}$$

$$(W_{Q_l})^r = - \sum_{m=1}^{\infty} \left(\frac{l}{m\pi}\right)^2 \left\{ \left[\frac{1}{EI_y} \left(\frac{l}{m\pi}\right)^2 + \frac{b_{SB}^2}{GI_t} \right] g_l + \left[\frac{1}{EI_y} \left(\frac{l}{m\pi}\right)^2 + \frac{b_{SB}^2}{GI_t} \right] g_r \right\} \sin \frac{m\pi x}{l}$$

$$(\phi_{Q_r}) = (\phi_{Q_l}) = \frac{b_{SB}}{GI_t} \sum_{m=1}^{\infty} \left(\frac{l}{m\pi}\right)^2 (g_l - g_r) \sin \frac{m\pi x}{l}$$

د- روابط مربوط به تاثیر لنگرهای پیچشی موثر در طول خطوط برش



شکل (۸)

با فرض اینکه بتوان لنگرهای پیچشی موثر در طول برشهای BB را با روابط زیر نشان داد.

$$M_r = \sum_{m=1}^{\infty} m_r \sin \frac{m\pi x}{l}$$

$$M_l = \sum_{m=1}^{\infty} m_l \sin \frac{m\pi x}{l}$$

به استخراج روابط تغییر مکان و دوران می پردازیم.

د- ۱- تغییر مکانهای حاصل از تاثیر لنگر \$M_r\$

۱- تغییر مکان طولی در امتداد محور X یعنی \$U_M\$

با توجه به محاسبات مشابهی که قبلاً انجام شد (رابطه ۱۵) خواهیم داشت.

$$U_M(x) = \frac{1}{EC_v} \sum_{m=1}^{\infty} \left(\frac{l}{m\pi} \right) \frac{Wm_r}{\left[\left(\frac{m\pi}{l} \right)^2 + \frac{GI_t}{EC_v} \right]} \cos \frac{m\pi x}{l} \quad (26)$$

۲- تغییر مکان عرضی در امتداد محور Y یعنی \$V_M\$

در اینجا نیز به توجه به محاسبات مشابه قبلی و با توجه به اینکه داریم ،

$$m_t = -GI_t \frac{d^2 \phi}{dx^2} = \sum_{m=1}^{\infty} m_r \sin \frac{m\pi x}{l}$$

نهایتاً " خواهیم داشت :

$$V_M(x) = -\frac{a SA}{GI_t} \sum_{m=1}^{\infty} \left(\frac{l}{m\pi}\right)^2 m_r \sin \frac{m\pi x}{l} \quad (27)$$

۳- تغییر مکان قائم در امتداد محور Z یعنی W_M مشابه با حالت قبلی خواهیم داشت ،

$$W_M(x) = -\frac{b SA}{GI_t} \sum_{m=1}^{\infty} \left(\frac{l}{m\pi}\right)^2 m_r \sin \frac{m\pi x}{l} \quad (28)$$

۴- دوران حول محور X در جهت ساعتگرد یعنی ϕ_M

$$\phi_M(x) = -\frac{1}{GI_t} \sum_{m=1}^{\infty} \left(\frac{l}{m\pi}\right)^2 m_r \sin \frac{m\pi x}{l} \quad (29)$$

د- ۲- تغییر مکانهای حاصل از تاثیر M_1 و M_2 در امتداد خطوط برش

با استفاده از روابط (۲۶)، (۲۷)، (۲۸) و (۲۹) روابط مربوط به تغییر مکانهای

حاصل از تاثیر M_1 و M_2 به ترتیب در طول دو برش سمت راست و سمت چپ به صورت زیر به دست می آید .

$$(U_{M_r})_r = (U_{M_l})_l = -\frac{1}{EC_v} \sum_{m=1}^{\infty} \left(\frac{l}{m\pi}\right)^2 \frac{W(m_l - m_r)}{\left[\left(\frac{m\pi}{l}\right)^2 + \frac{GI_t}{EC_v}\right]} \cos \frac{m\pi x}{l}$$

$$(V_{M_r})_r = (V_{M_l})_l = \frac{a SB}{GI_t} \sum_{m=1}^{\infty} \left(\frac{l}{m\pi}\right)^2 (m_l - m_r) \sin \frac{m\pi x}{l}$$

$$(W_{M_l})_l = \pm \frac{b SB}{GI_t} \sum_{m=1}^{\infty} \left(\frac{l}{m\pi}\right)^2 (m_l - m_r) \sin \frac{m\pi x}{l}$$

$$(\phi_{M_l})_l = \frac{b SB}{GI_t} \sum_{m=1}^{\infty} \left(\frac{l}{m\pi}\right)^2 (m_l - m_r) \sin \frac{m\pi x}{l} \quad (30)$$

هـ- روابط مربوط به تاثیر بار قائم خارجی بر تیر بار خارجی را بر حسب سری فوريه با رابطه زیر نشان می دهیم .

$$q(x) = \sum_{m=1}^{\infty} k \sin \frac{m\pi x}{l} \quad (31)$$

که مقدار ضرایب سری فوق از رابطه (۳۲) محاسبه خواهد شد .

$$k = \frac{2}{l} \int_0^l q(x) \sin \frac{m\pi x}{l} dx \quad (32)$$

محاسبه تغییرمکانهای مربوط به بار خارجی نظیر تاثیر بار قائم (برشی) است و به این جهت تنها به ارائه روابط نهایی فاعت می شود .

$$(u_{ql})^r = \frac{1}{E} \sum_{m=1}^{\infty} \left\{ \frac{a_{OB}}{I} \left(\frac{l}{m\pi} \right)^3 + \right.$$

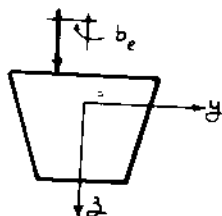
$$\left. \frac{b_e}{c_v \left[\left(\frac{m\pi}{l} \right)^2 z + \frac{GI_t}{EC} \right]} \right\} k \cos \frac{m\pi x}{l}$$

$$(v_{ql})^r = - \frac{b_e a_{SB}}{GI_t} \sum_{m=1}^{\infty} \left(\frac{l}{m\pi} \right)^2 k \sin \frac{m\pi x}{l}$$

$$(w_{ql})^r = \sum_{m=1}^{\infty} \left(\frac{l}{m\pi} \right)^2 \left[\frac{1}{EI} \left(\frac{l}{m\pi} \right)^2 + \frac{b_e b_{SB}}{GI_t} \right] k \sin \frac{m\pi x}{l}$$

$$(\phi_{ql})^r = - \frac{b_e}{GI_t} \sum_{m=1}^{\infty} \left(\frac{l}{m\pi} \right)^2 k \sin \frac{m\pi x}{l} \quad (33)$$

در این روابط b_e مقدار خروج از مرکزیت بار خارجی را مطابق شکل (۹) معین می کند .



شکل (۹)

۵- معادلات سازگاری

برای تمامی سازگاری تغییر مکانهای دو قطعه واقع در طرفین یک خط برش باید مجموع تغییر مکانهای هر یک از قطعات در طول آن خط برش در معادلات سازگاری (۳۴) صدق نماید.

$$\sum u_r = \sum u_l$$

$$\sum v_r = \sum v_l$$

$$\sum w_r = \sum w_l$$

$$\sum \phi_r = \sum \phi_l$$

(۳۴)

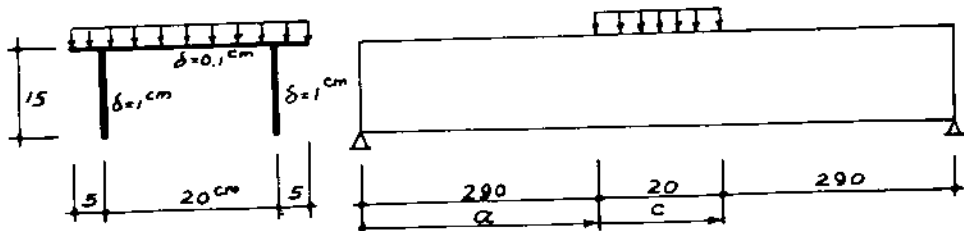
در این روابط تغییر مکانهای با پانویس ۲ مربوط به قطعه واقع در سمت راست خط برش و تغییر مکانهای با پانویس ۱ مربوط به قطعه واقع در سمت چپ خط برش است.

اگر مانند شکل (۲-ب) در یک برش جای دو قطعه، سه قطعه وجود داشته باشد، می توان دو قطعه را در یک سمت برش فرض کرده و دو دستگاه معادله هر یک مرکب از چهار معادله بین آن دو قطعه و قطعه واقع در سمت دیگر خط برش برقرار کرد. دیده می شود که به این ترتیب تعداد معادلات لازم و کافی جهت محاسبه ضرایب مجهول سریهای فوریه مربوط به نیروهای مجهول موثر در خطوط برشها ایجاد خواهد شد.

۶- مثال عددی

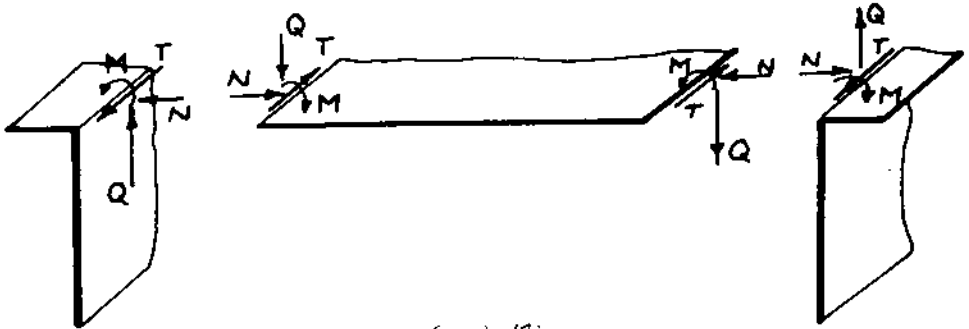
در اینجا به کمک یک مثال عددی روش مقاله را توضیح داده و صحت نتایج به دست آمده را به کمک تئوری تیرها خواهیم سنجید.

فرض می شود که اعمال روش مقاله بر نیمرخنی نظیر آنچه در شکل (۱۰) نشان داده شده است مورد نظر باشد. این سیمرخ در وسط دهانه در طولی برابر با ۲۰ cm تحت اثر بار خارجی q قرار دارد.



شکل (۱۰)

از تجربه این نيمرخ به دو تير و يك تاوه سيروهای موثر بر هر يك از قطعات به دست آمده به صورت شکل (۱۱) خواهد بود.



شکل (۱۱)

ديده می شود که به دليل تقارن بیش از چهار مجهول نخواهیم داشت و در صورتی که معادلات تغییر مکان را برای برش سمت راست بنویسیم داریم:

تغییر مکانهای لبه سمت راست تاوه:

$$u_r = \frac{1}{2\delta E} \sum_{m=1}^{\infty} \left(\frac{l}{m\pi}\right) [(\theta + \bar{\theta})t + (\theta - \bar{\theta})t + (\eta + \bar{\eta} - 2\nu)s + (\eta - \bar{\eta})sl] \cos \frac{m\pi x}{l}$$

$$v_r = -\frac{1}{2\delta E} \sum_{m=1}^{\infty} \left(\frac{l}{m\pi}\right) [(\eta + \bar{\eta} - 2\nu)t + (\eta - \bar{\eta})t + \left(\frac{\partial \eta}{\partial y} + \frac{\partial \bar{\eta}}{\partial y}\right)s + \left(\frac{\partial \eta}{\partial y} - \frac{\partial \bar{\eta}}{\partial y}\right)sl] \sin \frac{m\pi x}{l}$$

$$w_r = -\frac{1}{2D} \sum_{m=1}^{\infty} \left(\frac{l}{m\pi}\right)^2 \left\{ (\Delta_1 + \bar{\Delta}_1)m + (\Delta_1 - \bar{\Delta}_1)m - 2\left(\frac{l}{m\pi}\right) [(\Delta_2 + \bar{\Delta}_2)g + (\Delta_2 - \bar{\Delta}_2)gl - 2\left(\frac{l}{m\pi}\right)^2 \Delta_3 k] \right\} \sin \frac{m\pi x}{l}$$

$$\phi_r = -\frac{1}{2D} \sum_{m=1}^{\infty} \left(\frac{l}{m\pi}\right) \left\{ 2l[(\Delta_4 + \bar{\Delta}_4)m + (\Delta_4 - \bar{\Delta}_4)m] - \left(\frac{l}{m\pi}\right) [(\Delta_5 + \bar{\Delta}_5)g + (\Delta_5 - \bar{\Delta}_5)gl - 4\nu\left(\frac{l}{m\pi}\right)^2 \Delta_6 k] \right\} \sin \frac{m\pi x}{l}$$

با توجه به اینکه a_s ، b_s و w برابر با صفر است مقادیر تغییر مکان در لبه سمت چپ تیر خواهد شد.

$$U_l = - \frac{1}{E} \sum_{m=1}^{\infty} \left(\frac{l}{m\pi} \right) \left[\left(\frac{1}{A} \right) \left(\frac{l}{m\pi} \right) \left(\frac{b}{I_z} \right) \left(\frac{l}{m\pi} \right) S + \left(\frac{a}{I_y} \right) \left(\frac{l}{m\pi} \right) \left(\frac{l}{m\pi} \right) g - \left(\frac{a}{I_y} \right) \left(\frac{l}{m\pi} \right) \left(\frac{l}{m\pi} \right) K_p \right] \cos \frac{m\pi x}{l}$$

$$V_l = \sum_{m=1}^{\infty} \left(\frac{l}{m\pi} \right) \left[\left(\frac{1}{EI_z} \right) \left(\frac{l}{m\pi} \right) S \right] \sin \frac{m\pi x}{l}$$

$$W_l = \sum_{m=1}^{\infty} \left(\frac{l}{m\pi} \right) \left[\left(\frac{l}{EI_y} \right) \left(\frac{l}{m\pi} \right) g + \left(\frac{1}{EI_y} \right) \left(\frac{l}{m\pi} \right) \left(\frac{l}{m\pi} \right) K_p \right] \sin \frac{m\pi x}{l}$$

$$\phi_l = \sum_{m=1}^{\infty} \left(\frac{l}{m\pi} \right) \left[\left(\frac{1}{GI_t} \right) \left(\frac{l}{m\pi} \right) m - \left(\frac{b}{GI_t} \right) \left(\frac{l}{m\pi} \right) \left(\frac{l}{m\pi} \right) K_p \right] \sin \frac{m\pi x}{l}$$

روابط سارگاری به صورت زیر نوشته می شود.

$$U_r = U_l, \quad V_r = V_l, \quad W_r = W_l, \quad \phi_r = \phi_l$$

با استفاده از روابط به دست آمده معادلات فوق به صورت زیر درمی آید.

$$\left[\frac{\Theta}{\delta} \left(\frac{l}{A} \right) \left(\frac{l}{m\pi} \right) \right] + \left[\frac{\eta - \nu}{\delta} \left(\frac{b}{I_z} \right) \left(\frac{l}{m\pi} \right) \right] S + \left(\frac{a}{I_y} \right) \left(\frac{l}{m\pi} \right) \left(\frac{l}{m\pi} \right) g - \left(\frac{a}{I_y} \right) \left(\frac{l}{m\pi} \right) \left(\frac{l}{m\pi} \right) K_p$$

$$\frac{\eta - \nu}{\delta} + \left[\frac{1}{\delta} \left(\frac{\partial \eta}{\partial y} \right) + \left(\frac{1}{I_y} \right) \left(\frac{l}{m\pi} \right) \right] S = 0$$

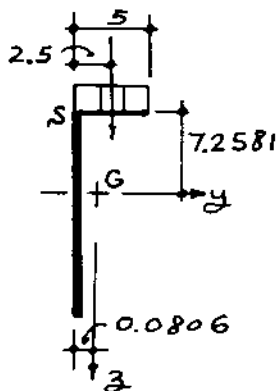
$$\left[\frac{24(1-\nu^2)}{\delta^3} \Delta_2 + \left(\frac{l}{I_y} \right) \left(\frac{l}{m\pi} \right) \right] g - \left[\frac{12(1-\nu^2)}{\delta^3} \Delta_1 m + \left(\frac{l}{I_y} \right) \left(\frac{l}{m\pi} \right) \left(\frac{l}{m\pi} \right) K_p \right]$$

$$\frac{12(1-\nu^2)}{\delta^3} \left(\frac{l}{m\pi} \right) \left(\frac{l}{m\pi} \right) K$$

$$\frac{12(1-\nu^2)}{\delta^3} \Delta_3 \left(\frac{l}{m\pi} \right) g - \left[\frac{24(1-\nu^2)}{\delta^3} \Delta_4 + \frac{2(1+\nu)}{I_t} \left(\frac{l}{m\pi} \right) \right] m =$$

$$\frac{2(1+\nu)}{I_1} b \left(\frac{l}{e} \right) K_p \frac{24(1-\nu^2)}{\delta^3} \nu \Delta_5 \left(\frac{l}{e} \right)^2 K$$

با توجه به اینکه مشخصات هندسی و بارگذاری تیر به شرح زیر است :



شکل (۱۲)

$$K_p = \frac{4q}{\pi} \sin \frac{m\pi(c+a)}{2l} \sin \frac{m\pi(c-a)}{2l} = 0.0666362q$$

در این رابطه q' شدت یکنواخت بار وارده بر تیر است که با شدت بار وارده بر صفحه میانی رابطه $q' = 5q$ را پیدا می‌کند.

$$\begin{aligned} a_0 &= 7.2581 \text{ cm} & b_0 &= 0.0806 \text{ cm} & b_e &= -2.5 \text{ cm} \\ A &= 15.5 \text{ cm}^2 & I_y &= 308.5 \text{ cm}^4 & I_2 &= 5.32 \text{ cm}^4 \end{aligned}$$

و مقادیر η ، θ ، Δ_1 ، Δ_2 ، Δ_3 ، Δ_4 ، Δ_5 مربوط به ناوه ماسی با توجه به مقادیر آنها (ار ضمیمه ۱) به صورت زیر محاسبه می‌شود.

$$\theta = 19.13351$$

$$\eta = 0.0009135$$

$$\frac{\partial \eta}{\partial y} = 0.0529599$$

$$\Delta_1 = 0.3302101$$

$$\Delta_2 = 10.49816$$

$$\Delta_3 = 1.099063$$

$$\Delta_4 = 0.0287288$$

$$\Delta_5 = 0.330210$$

$$\Delta_6 = 0.0287288$$

$$K = 0.0666362 q$$

نتایج چهار معادله چهار مجهولی فوق به صورت زیر به دست خواهد آمد .

$$t = 9.937359951 \text{ q}$$

$$s = 0.000008999 \text{ q}$$

$$g = -0.601214497 \text{ q}$$

$$m = 59.7068947 \text{ q}$$

با توجه به مقادیر به دست آمده مقدار تنش خمشی و تغییر مکان قائم تیر فوق را در مقطع میانی محاسبه می کنیم .

الف - تغییر مکان قائم .

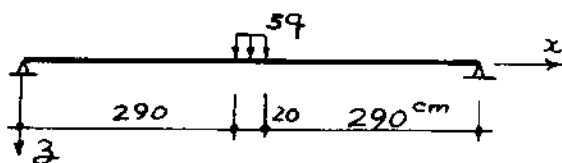
$$w = \sum_{m=1}^{\infty} \left(\frac{l}{m\pi} \right)^2 \left[\frac{1}{EI_y} \left(\frac{l}{m\pi} \right)^2 g + \frac{1}{EI_y} \left(\frac{l}{m\pi} \right)^2 K_p \right] \sin \frac{m\pi x}{l}$$

باراً، $m=1$ و $x = \frac{l}{2}$ خواهیم داشت :

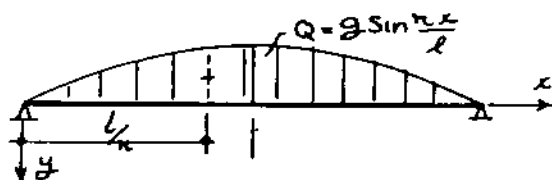
$$w = \frac{1}{EI_y} \left(\frac{l}{\pi} \right)^4 (g + K_p) = 1.94 \text{ q} \quad \text{cm}$$

ب - تنش خمشی

۱ - تنش حاصل از بار خارجی



(الف)



(ب)

شکل (۱۳)

$$M_{\max} = 14750 \text{ q}$$

$$\sigma_1 = \frac{14750 \text{ q}}{1908.5/7.2581} = 347 \text{ q}$$

۲ - تنش حاصل از ناشر ۲

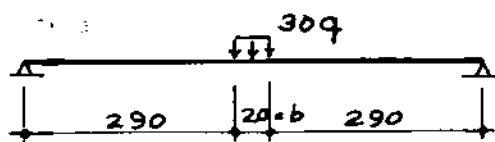
$$M_{\max} = \left(\frac{l^2}{\pi}\right) q$$

$$\sigma_2 = \frac{21929.67 \text{ q}}{2308.5/7.2581} = 515 \text{ q}$$

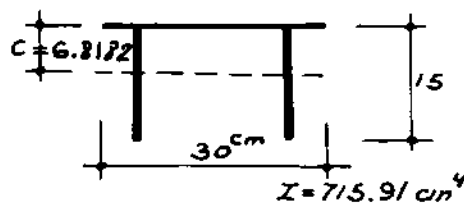
لذا مقدار کل تنش خمشی به کمک روش مقاله بدصورت زیر به دست می آید.

$$\sigma = \sigma_1 + \sigma_2 = 347 \text{ q} + 515.9 \text{ q} = 862.9 \text{ q}$$

اگر کل مقطع فوق را مانند تیری فرض کنیم مقادیر تغییرمکان و تنش خمشی در مقطع میانی تیر به صورت زیر به دست خواهد آمد:



(الف)



(ب)

شکل (۱۴)

$$W = \frac{(30 \times 20) \text{ q}}{384EI^3} (8l^3 - 4lb^2 + b^3) = 1.82 \text{ q}$$

$$M_{\max} = 88500 \text{ q}$$

حدول زیر نتایج به دست آمده بازا $q = \text{Kg/cm}^2$ مقایسه شده اند .

$$Q = \frac{M}{I/C} = \frac{88500q}{715.91/6.818} = 842.8 q$$

تنش قائم در مقطع میانی در

تنش خمشی	تغییرمکان	
862.9 bar	1.94 cm	با روش مقاله
842.8 bar	1.82 cm	با تئوری سیرها

واضح است چون روش مقاله تغییرشکل مقطع را نیز ملحوظ می کند مطابق نهایی نتایج دو تئوری کامل خواهد بود ، اضافه می کند در این مثال تنها از اولین جمله سری فوریه سز استفاده شده است .

۷- نتیجه گیری

با دقت به روش محاسباتی ارائه شده در این مقاله ملاحظه می شود که آنچه در اینجا بیان شد یک روش تقریبی نیست بلکه با استفاده از تئوریهای دقیق سیرها و صفحات روشی دقیق و کاربردی جهت تحلیل تاوهای ساختمانی متفاوت در دو جهت قائم بر هم ارائه می دهد .

از این روش می توان با اتخاذ خطوط برش مناسب به تحلیل تنش و تغییرمکان مقاطع جدار نازک نیز پرداخت .

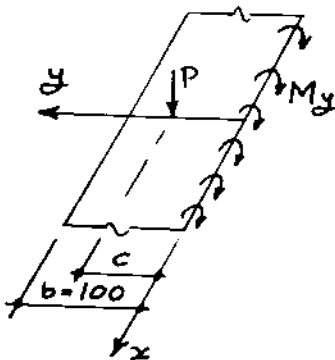
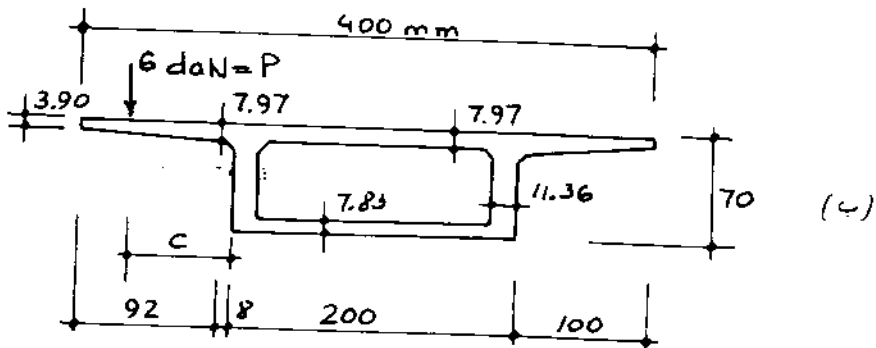
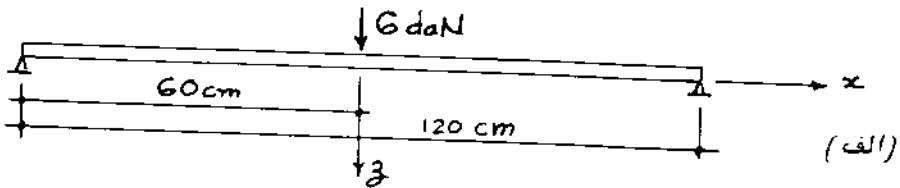
با دقت در نتایج به دست آمده (در مثال عددی) بار دیگر می توان به نتایج حاصل از روش محاسباتی مقاله اطمینان کامل نمود .

توصیه می شود در جهت تسهیل اعمال روش، خطوط برش مربوط به تجزیه سازه به تیر و تاو را خوبی انتخاب نمود که حداقل مقدور مقاطع تیرهای به دست آمده دارای یک محور تقارن نیز باشند .

در شکل (۱۵) مشخصات هندسی یک مدل آزمایشگاهی از ماده ای با $E=3.04 \times 10^4 \text{ bar}$ و $\nu=0.38$ که در مرجع (۵) آمده است نشان داده شده است . بار متمرکزی برابر با 6 dan در عرض

مقطع میانی این مدل حرکت می‌کند. نتایج حاصل از روش مقاطع با نتایج حاصل از آزمایش در نمودارهای مختلف نشان داده شده است. با مراجعه به این نمودارها بار دیگر می‌توان به صحت نتایج حاصل از روش مقاطع اطمینان یافت.

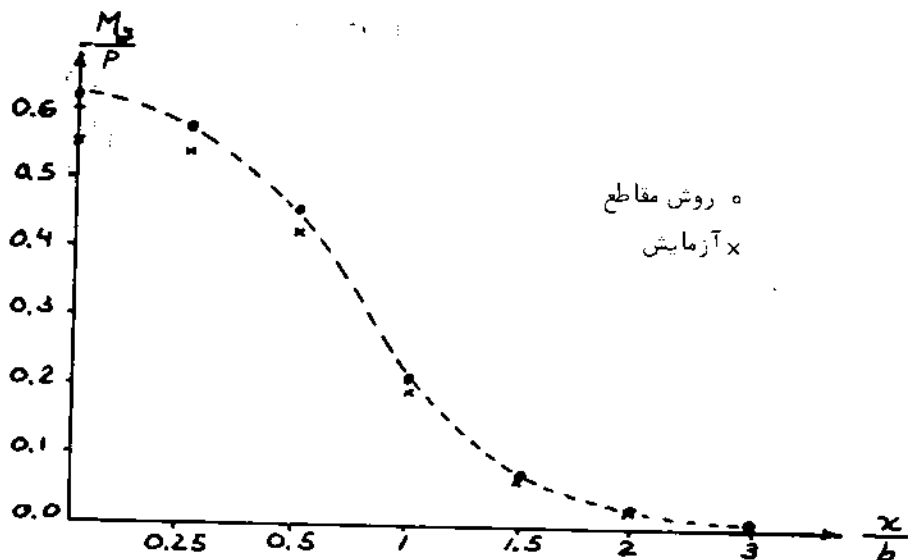
در مرجع (۵) علاوه بر نتایج حاصل از آزمایش، این مدل را به روش Spline Finite Strip نیز تحلیل کرده است. با مراجعه به نتایج این تحلیل نتایج بسیار کاملی بین روش مرجع (۵) و روش مقاطع دیده می‌شود.



(الف) مقطع طولی نمونه (ب) مقطع عرضی نمونه (ج) موقعیت بار وارده

۱- توزیع لگرخمشی ($\frac{\delta y}{P}$) در ریشه‌بال (در امتداد محور x) موقعیت بار در $\frac{c}{b}=1.0$

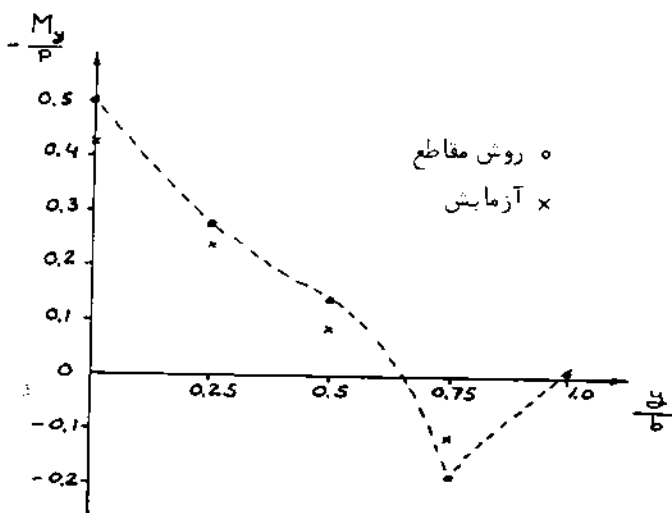
$\frac{x}{b}$	نتایج روش مقاطع باز: تعداد حملات متفاوت سری فوریه				نتایج آزمایش
	m=10	m=20	m=40	m=50	
0.0	0.558	0.615	0.618	0.618	0.546
0.25	0.533	0.572	0.572	0.572	0.531
0.5	0.463	0.457	0.453	0.453	0.415
1.0	0.250	0.203	0.207	0.207	0.192
1.5	0.060	0.07	0.069	0.069	0.069
2.0	0.014	0.016	0.017	0.017	0.015
3.0	0.021	0.001	0.001	0.001	0.008



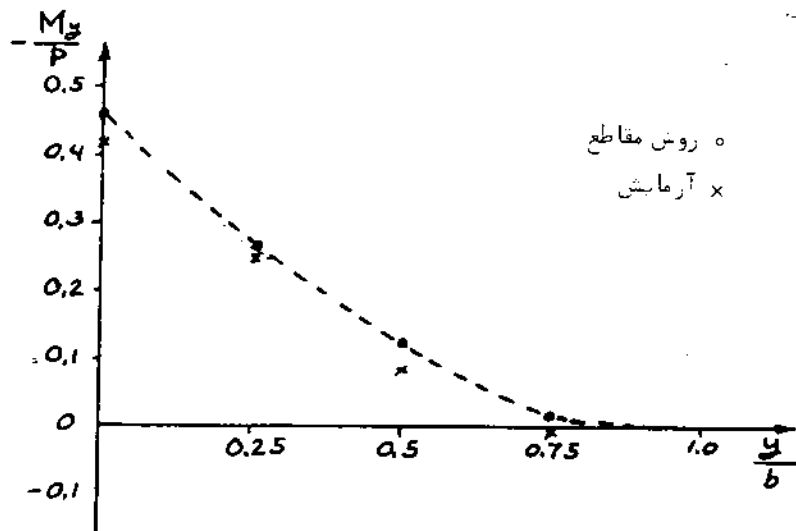
جدول فوق نتایج حاصل از روش مقاطع را بازاء استفاده از تعداد حملات متفاوت از

سری فوریه نشان می‌دهد. با دقت به این نتایج می‌توان نتیجه گرفت که معمولاً می‌توان به تعداد ده جمله از سری فوریه در محاسبات مهندسی کفایت نمود. با این همه توصیه می‌شود از جملات بیشتری استفاده گردد تا سطح حاصل بارها، هر نوع بارگذاری (منفرد یا گسترده) دارای دقت کافی باشد.

۲- توزیع لگرخمشی $\frac{M_y}{P}$ در مقطع $x=0$ ، موقعیت بار $\frac{c}{b}=0.75$



۳- توزیع لگرخمشی $\frac{M_y}{P}$ در مقطع $x=0.25b$ ، موقعیت بار $\frac{c}{b}=0.75$



۸ - ضرائب

ضمیمه (۱) مساحت بواب

$$\alpha = \frac{m\pi b}{m} = \frac{m\pi b}{2l}$$

$$\Theta(m, y) = \frac{(4\text{cha}_m - 2\alpha \text{sha}_m) \text{ch} \frac{m\pi y}{l} + 2 \frac{m\pi y}{l} \text{sh} \frac{m\pi y}{l} \text{cha}_m}{\text{sh} 2\alpha + 2\alpha}$$

$$\bar{\Theta}(m, y) = \frac{(4\text{sha}_m - 2\alpha \text{cha}_m) \text{sh} \frac{m\pi y}{l} + 2 \frac{m\pi y}{l} \text{ch} \frac{m\pi y}{l} \text{sha}_m}{\text{sh} 2\alpha - 2\alpha}$$

$$\varphi(m, y) = \frac{2\alpha \text{sha}_m \text{ch} \frac{m\pi y}{l} - 2 \frac{m\pi y}{l} \text{sh} \frac{m\pi y}{l} \text{cha}_m}{\text{sh} 2\alpha + 2\alpha}$$

$$\bar{\varphi}(m, y) = \frac{2\alpha \text{cha}_m \text{sh} \frac{m\pi y}{l} - 2 \frac{m\pi y}{l} \text{ch} \frac{m\pi y}{l} \text{sha}_m}{\text{sh} 2\alpha - 2\alpha}$$

$$\eta(m, y) = \frac{(2\text{sha}_m - 2\alpha \text{cha}_m) \text{ch} \frac{m\pi y}{l} + 2 \frac{m\pi y}{l} \text{sh} \frac{m\pi y}{l} \text{sha}_m}{\text{sh} 2\alpha + 2\alpha}$$

$$\bar{\eta}(m, y) = \frac{(2\text{cha}_m - 2\alpha \text{sha}_m) \text{sh} \frac{m\pi y}{l} + 2 \frac{m\pi y}{l} \text{ch} \frac{m\pi y}{l} \text{cha}_m}{\text{sh} 2\alpha - 2\alpha}$$

$$\psi(m, y) = \frac{(2\text{sha}_m + 2\alpha \text{cha}_m) \text{ch} \frac{m\pi y}{l} - 2 \frac{m\pi y}{l} \text{sh} \frac{m\pi y}{l} \text{sha}_m}{\text{sh} 2\alpha + 2\alpha}$$

$$\bar{\psi}(m, y) = \frac{(2\text{cha}_m + 2\alpha \text{sha}_m) \text{sh} \frac{m\pi y}{l} - 2 \frac{m\pi y}{l} \text{ch} \frac{m\pi y}{l} \text{cha}_m}{\text{sh} 2\alpha - 2\alpha}$$

$$\Theta(m) = \frac{4\text{ch}^2 \alpha_m}{\text{sh} 2\alpha_m + 2\alpha_m}$$

$$\bar{\Theta}(m) = \frac{4\text{sh}^2 \alpha_m}{\text{sh} 2\alpha_m - 2\alpha_m}$$

$$\eta^{(m)} = \frac{\text{sh}z\alpha_m - z\alpha_m}{\text{sh}z\alpha_m + z\alpha_m}$$

$$\bar{\eta}^{(m)} = \frac{\text{sh}z\alpha_m + z\alpha_m}{\text{sh}z\alpha_m - z\alpha_m}$$

$$\frac{\partial \eta}{\partial y}^{(m)} = \frac{4\text{sh}^2\alpha_m}{\text{sh}z\alpha_m + z\alpha_m}$$

$$\frac{\partial \bar{\eta}}{\partial y}^{(m)} = \frac{4\text{ch}^2\alpha_m}{\text{sh}z\alpha_m - z\alpha_m}$$

$$\Delta_1 = \bar{\Delta}_1 = \frac{\frac{1+\nu}{2}\text{sh}z\alpha_m - \alpha_m(1-\nu)}{\left[\frac{3+\nu}{2}\text{sh}z\alpha_m - \alpha_m(1-\nu)\right](1-\nu)}$$

$$\bar{\Delta}_1 = \bar{\Delta}_1 = \frac{\frac{1+\nu}{2}\text{sh}z\alpha_m + \alpha_m(1-\nu)}{\left[\frac{3+\nu}{2}\text{sh}z\alpha_m + \alpha_m(1-\nu)\right](1-\nu)}$$

$$\Delta_2 = \frac{\text{ch}^2\alpha_m}{\left[\frac{3+\nu}{2}\text{sh}z\alpha_m - \alpha_m(1-\nu)\right](1-\nu)}$$

$$\bar{\Delta}_2 = \frac{\text{sh}^2\alpha_m}{\left[\frac{3+\nu}{2}\text{sh}z\alpha_m + \alpha_m(1-\nu)\right](1-\nu)}$$

$$\Delta_3 = \frac{\frac{3-\nu}{2}\text{sh}z\alpha_m - \alpha_m(1-\nu)}{\left[\frac{3+\nu}{2}\text{sh}z\alpha_m - \alpha_m(1-\nu)\right](1-\nu)}$$

$$\Delta_4 = \bar{\Delta}_4 = \frac{\text{sh}^2\alpha_m}{\left[\frac{3+\nu}{2}\text{sh}z\alpha_m - \alpha_m(1-\nu)\right](1-\nu)}$$

$$\bar{\Delta}_4 = \frac{\text{ch}^2\alpha_m}{\left[\frac{3+\nu}{2}\text{sh}z\alpha_m + \alpha_m(1-\nu)\right](1-\nu)}$$

- V_1 : تغییر مکان در امتداد محور y لبه چپ صفحه
 W_F : تغییر مکان در امتداد محور z لبه راست صفحه
 W_1 : تغییر مکان در امتداد محور z لبه چپ صفحه

ضمیمه (۳) - منابع استفاده شده در تنظیم مقاله

1. J.T.oden "Meehanics of Elastic Structures".
Mc.Graw-Hill Book Company-1967
2. Richard G.Budynas "Advanced strength and Applied stress Analysis" McGraw-Hill Book Company-1977
3. Omer W.BlodgeH "Design of welded structures "
the James F.Lincoln Arc Welding Foundation -
1966
4. Feridun Irani "Etade des platelages Metalligues
de Type Arnoolin" -197۱
5. Shih toh chang, Jiang Zhi Gang "Analysis of
Cantilever Decks of Thin-Walled Box Girder -
Bridges" ASCE Journal of structural Enginee-
ring Vol.116, No.9, Sept.1990

۶ - فریدون ایرانی " روش مقاطع به کمک ثوری صفحات " نشریه دانشکده مهندسی
دانشگاه مشهد جلد ۲ شماره ۱